

©1994 г.

**ПРИГОТОВЛЕНИЕ ПЛЕНОК $\text{Cd}_x\text{Hg}_{1-x}\text{Te}$
МЕТОДОМ ПАРОФАЗНОЙ ЭПИТАКСИИ HgTe
НА ПОДЛОЖКАХ CdTe
С ПОСЛЕДУЮЩЕЙ ВЗАИМНОЙ ДИФФУЗИЕЙ**

B.C. Варавин, Ю.Г. Сидоров, В.Г. Ремесник, С.И. Чикичев, И.Е. Нис

Институт физики полупроводников Сибирского отделения РАН, 630090,
Новосибирск, Россия

(Получена 26 мая 1993 г. Принята к печати 24 августа 1993 г.)

Выращены зеркально-гладкие пленки HgTe на подложках CdTe различных ориентаций с помощью методики осаждения HgTe из паровой фазы в градиенте температур. Скорости выращивания $5\div12 \text{ мкм/ч}$. Последующий отжиг структур позволяет получить слои $\text{Hg}_{1-x}\text{Cd}_x\text{Te}$ толщиной около 15 мкм с $x_{\text{CdTe}} = 0.2\div0.3$ на поверхности и градиентом ширины запрещенной зоны 0.0025 эВ/мкм по глубине. После отжига концентрация носителей в образцах *n*-типа составляет $(1\div20) \cdot 10^{15} \text{ см}^{-3}$ при подвижности $(2\div5) \cdot 10^4 \text{ см}^2/\text{В} \cdot \text{с}$, в образцах *p*-типа — концентрация $(1\div5) \cdot 10^{16} \text{ см}^{-3}$ и подвижность $200\div350 \text{ см}^2/\text{В} \cdot \text{с}$ (77 К). На пленках *n*-типа с помощью диффузии мышьяка получены фотодиоды с $R_0 A = 22 \text{ Ом} \cdot \text{см}^2$ и длинноволновой границей на 9.5 мкм .

Введение

В настоящее время существует ряд методов, позволяющих выращивать качественный материал для ИК фотоприемников. Наиболее распространенными являются жидкофазная эпитаксия (ЖФЭ) и изотермическая парофазная эпитаксия (ИПФЭ) [1,2]. Отличительной чертой пленок КРТ, выращенных методом ИПФЭ, является совершенная морфология поверхности. Однако в пленках, выращенных этим методом, состав меняется по толщине, так как теллурид кадмия в пленку КРТ поступает за счет диффузии из подложки во время осаждения пленки HgTe .

Проблема развития метода ИПФЭ, отличающегося относительной простотой при реализации в проточном варианте, заключается в увеличении толщины части пленки с нужным составом и повышении его однородности по толщине. Модель ИПФЭ [3], позволяющая рассчитывать профили состава по толщине в зависимости от условий выращивания, показывает, что наибольшая однородность состава может

быть получена отжигом пленки после выращивания. Из простых физических соображений также следует, что диффузия с одновременным осаждением одного из компонентов на поверхность не может привести к профилю с постоянным составом. Если бы удалось нанести слой HgTe, а затем провести в него диффузию, то можно было бы приготовить слои с меньшим градиентом состава в большей части пленки. Однако толстые ($10 \div 20$ мкм) пленки, близкие по составу к чистому теллуриду ртути, в методе ИПФЭ получить затруднительно вследствие уменьшения движущей силы переноса HgTe на подложку в процессе роста.

Таким образом, задача повышения однородности состава пленок КРТ по толщине требует разделения процессов осаждения HgTe и диффузии CdTe и нахождения способа осаждения HgTe.

Методика выращивания

Были разработаны конструкции реактора и методика осаждения HgTe из паровой фазы с использованием градиента температуры для повышения скорости роста. Возникающие в градиенте температуры конвективные потоки перед подложкой необходимо устраниć для обеспечения высокой однородности толщины пленки по площади образца. Это было достигнуто с помощью оригинального решения — размещения подложки в квазизамкнутом объеме, отделенном пористой перегородкой от объема реактора. При этом массоперенос в зоне роста осуществляется только за счет диффузии в газовой фазе.

Реактор для роста пленок HgTe представляет собой горизонтальную кварцевую трубу, запаянную с одного конца. С другого конца трубы продувается потоком очищенного водорода. В реакторе в зоне высокой температуры ($650 \div 750$ °C) расположен источник теллура, а в зоне низкой температуры ($320 \div 350$ °C) расположена источник ртути. Между ними в градиенте температуры вертикально расположена подложка в квазизамкнутом объеме с пористой перегородкой. Нами использовались подложки из CdTe диаметром 30 мм с ориентациями (111), (100), (112) и произвольной ориентации.

Температура источника ртути выбирается таким образом, чтобы обеспечить давление паров ртути $p_{\text{Hg}} = 0.5 \div 1$ атм. Это давление должно быть больше давления диссоциации HgTe, соответствующего температуре подложки, но не слишком велико, так как с ростом давления паров ртути падает скорость роста пленки HgTe.

Давление паров теллура на 2 порядка меньше, чем давление паров ртути, и перенос теллура в сторону подложки осуществляется за счет градиента температуры. Увеличение температуры источника теллура и градиента температуры в области подложки приводят к увеличению скорости роста пленки, которая ограничена образованием на подложке жидкой фазы с избыточным теллуром. При температурах подложки $440 \div 540$ °C были выращены зеркально-гладкие пленки HgTe со скоростью $5 \div 12$ мкм/ч. При увеличении температуры подложки скорость роста пленки увеличивается, а рельеф поверхности ухудшается. При уменьшении температуры подложки скорость роста пленки резко уменьшается.

После выращивания пленки HgTe на подложке CdTe производится отжиг структуры для получения нужного состава и электрофизических свойств в атмосфере водорода и регулируемом давлении паров

ртути. Разделение процессов роста в диффузии упрощает технологию и делает ее гибкой. Процессы роста и отжига оптимизированы с помощью компьютерного моделирования.

Характеристики пленок

С использованием описанной методики получены пленки $Hg_{1-x}Cd_xTe$ толщиной 20–30 мкм с параметрами, типичными для пленок, выращенных из паровой фазы [1,4,5].

При изучении поверхности пленок $HgTe$ после роста с помощью растрового электронного микроскопа на ней обнаружены характерные дефекты в виде протяженных штрихов высотой не более 1 мкм. Ориентация и плотность штрихов зависят от ориентации подложки. При последующих отжигах морфология поверхности пленок не изменяется.

Распределение состава по толщине пленок исследовалось с помощью рентгеноспектрального микроанализа (РСМА) на установке «Самеса-Microbeam» на поперечных срезах. Диаметр электронного зонда ≈ 1 мкм, шаг измерений ≈ 3 мкм. Результаты измерений состава по толщине пленок после роста и после отжига показаны на рис. 1, зависимости 1 и 2 соответственно. Видно что градиент состава возрастает от поверхности пленки к подложке. В выращенных пленках $HgTe$ толщиной 25–30 мкм содержание $CdTe$ в поверхностном слое не превышает 1%, а область интенсивной диффузии $CdTe$ составляет около одной трети толщины пленки. Заданный состав ($x_{CdTe} = 0.2 \div 0.3$) на поверхности пленки получается в процессе отжига вследствие взаимодиффузии Hg и Cd . Для пленок толщиной 30 мкм на глубине 10 мкм градиент ширины запрещенной зоны, определяемый градиентом состава, составляет величину $0.0025 \div 0.003$ эВ (рис. 1, зависимость 2), что позволяет использовать такие пленки для изготовления фотоприемников.

Распределение состава по толщине пленок было также рассчитано с учетом изменения коэффициента диффузии с составом. Результаты расчета показаны на рис. 1 сплошными линиями и хорошо совпадают с экспериментальными значениями.

Численные расчеты распределения состава по толщине растущих слоев проводились для следующей модели. При температуре T_g на подложке $CdTe$ толщиной H_s выращивается слой $HgTe$ со скоростью V . Для расчета профиля состава $x = f(z)$ в области с началом на тыльной стороне подложки и подвижной правой границей $h(t) = H_s + h_f(t)$, где $h_f(t) = V \cdot t$ — толщина пленки в момент времени t , решалось од-

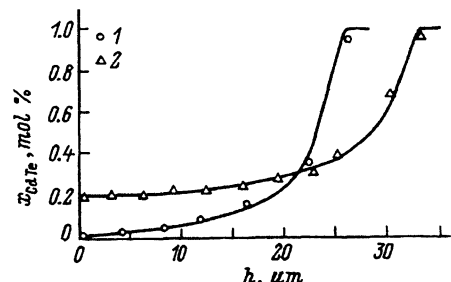


Рис. 1. Распределение состава по толщине пленок.

1 — измеренные значения для пленки $HgTe$ после роста, $T_g = 495^\circ C$, $t_g = 130$ мин; 2 — измеренные значения для пленки $Hg_{0.8}Cd_{0.2}Te$ после отжига, $T_a = 510^\circ C$, $t_a = 24$ ч. Сплошные линии — расчет соответственно для 1 при $T_g = 508^\circ C$, $t_g = 130$ мин; для 2 — при $T_a = 515^\circ C$, $t_a = 24$ ч.

$$\frac{\partial x}{\partial t} = \frac{\partial}{\partial z} \left(D(z) \frac{\partial x}{\partial z} \right) \quad (1)$$

с граничными условиями

$$x(0, t) = 1; \quad \left. \frac{\partial x}{\partial z} \right|_{z=h(t)} = 0 \quad (2)$$

и начальным условием

$$x(z, 0) = 1 \quad \text{при } 0 \leq z \leq H_s. \quad (3)$$

Решение осуществлялось методом конечных разностей с использованием шеститочечного шаблона (метод Кранка–Никольсона). На каждом временном шаге Δt правая граница смешалась на величину $\Delta h = V \cdot \Delta t$ и состав в последнем узле принимался равным нулю. Полученный таким образом профиль становился начальным для краевой задачи (1), (2), которая решалась на интервале $0 \leq t \leq \Delta t$ с шагом $\Delta t/10$. Указанная процедура повторялась до достижения заданной толщины слоя h_f . Для определения изменений профиля состава в процессе отжига на интервале $0 < z < H_s + h_f$ решалась краевая задача (1), (2), а в качестве начального условия использовался профиль, сформированный на стадии роста.

Методом РСМА была исследована однородность состава по площади пленки. Измерения проводились на установке «Самебах-SX-50». Диаметр электронного зонда составлял $30 \div 50$ мкм, шаг измерений 1 мм. Измерения проводились по линии диаметра образца. На краях образца наблюдается неоднородность состава, обусловленная уменьшением толщины пленки к краям за счет геометрии держателя. При диаметре подложки 30 мм однородная по составу область ($\Delta x_{CdTe} < 0.005$) имеет диаметр 26 мм.

Содержание CdTe в пленках измерялось оптическими методами по спектрам отражения и пропускания. Результаты измерений по спектрам отражения (в области длин волн $350 \div 800$ нм) хорошо согласуются с данными, полученными методом РСМА. Значения x_{CdTe} , получаемые по краю спектра пропускания (в области длин волн $1 \div 15$ мкм), превышают значения x_{CdTe} , получаемые по спектру отражения ($\Delta x \leq 0.03$), что связано с вариационностью пленок по толщине.

После роста пленки HgTe имеют n -тип проводимости (при 77 К), концентрацию носителей $(3 \div 6) \cdot 10^{16} \text{ см}^{-3}$ и холловскую подвижность $(5 \div 12) \cdot 10^4 \text{ см}^2/\text{В}\cdot\text{с}$, что близко к литературным данным для HgTe. Средние значения концентрации и подвижности различны (в указанных пределах) для различных слитков, из которых вырезались подложки.

После отжига для получения заданного состава ($T_a = 500 \div 530^\circ \text{ C}$, $t = 20 \div 30$ ч, $p_{Hg} = 1$ атм) концентрация носителей понижается до $(1 \div 3) \cdot 10^{16} \text{ см}^{-3}$ и подвижность падает до $(2 \div 5) \cdot 10^4 \text{ см}^2/\text{В}\cdot\text{с}$. Значения подвижности ниже известных из литературы для объемного КРТ соответствующего состава ($x_{CdTe} = 0.2 \div 0.3$), однако типичны для пленок, полученных методом изотермической парофазной эпитаксии [1, 4, 5].

Отжиг при температурах $200\div350^\circ\text{C}$ и контролируемом давлении паров ртути позволяет понизить концентрацию носителей в образцах *n*-типа до $1 \cdot 10^{15} \text{ см}^{-3}$ при подвижности $(2\div5) \cdot 10^4 \text{ см}^2/\text{В}\cdot\text{с}$ или получить *p*-тип с концентрацией $(1\div5) \cdot 10^{16} \text{ см}^{-3}$ и подвижностью $200\div350 \text{ см}^2/\text{В}\cdot\text{с}$. Отжиг пленок в режимах, направленных на дальнейшее понижение концентрации носителей [6], приводит к тому, что по данным измерений с послойным травлением тип проводимости и концентрация носителей меняются по глубине пленки, причем у поверхности пленки получается *n*-слой толщиной до нескольких микрон, а в глубине пленки имеет *p*-тип проводимости.

Измерения времени жизни τ неосновных носителей производились бесконтактным методом регистрации спада фотопроводимости с помощью СВЧ излучения на установке «Таурис-1» при температуре жидкого азота. Максимальная величина $\tau = (1\div5) \cdot 10^{-7} \text{ с}$ наблюдалась для пленок *n*-типа с концентрацией основных носителей $(1\div5) \cdot 10^{15} \text{ см}^{-3}$. Спектральный анализ кривых спада фотопроводимости свидетельствует о наличии нескольких механизмов рекомбинации в пленках.

Характеристики фотодиодов

На пленках *n*-типа были изготовлены меза-фотодиоды по следующей технологии. Пленки состава $x_{\text{CdTe}} = 0.22\div0.24$ отжигались в водороде в присутствии паров ртути и мышьяка при температуре 400°C 4 ч для получения слоя *p*-типа. Затем проводился низкотемпературный отжиг при 200°C в насыщенных парах ртути в течение 48 ч. После этого вытравливались мезы площадью $0.1\div1 \text{ м}^2$ и глубиной $5\div7 \text{ мкм}$. Контакты к мезам осуществлялись с помощью припайки индием золотых проволочек. Вольт-амперная характеристика одного из диодов, смонтированного в криостате с окном из BaF_2 , показана на рис. 2, а спектральная зависимость фоточувствительности — на рис. 3. По-

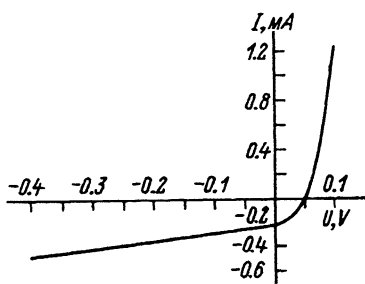


Рис. 2. Вольт-амперная характеристика фотодиода на пленке $\text{Hg}_{0.764}\text{Cd}_{0.236}\text{Te}$. Площадь мезы $A = 10^{-2} \text{ см}^2$, $R_0 A = 22 \text{ Ом}\cdot\text{см}^2$, температура измерения 77 K , угол зрения равен 2π .

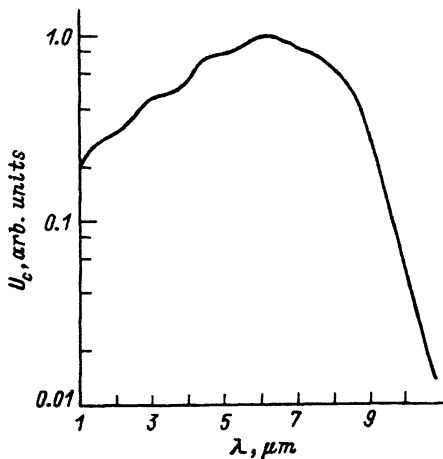


Рис. 3. Спектральная зависимость фотоэдс фотодиода на пленке $\text{Hg}_{0.764}\text{Cd}_{0.236}\text{Te}$ при $T = 77 \text{ K}$.

логий спад фоточувствительности в области длинноволнового края скорее всего связан с градиентом состава по толщине пленки. Интегральная вольт-вattная чувствительность, измеренная по сигналу от излучения абсолютно черного тела ($T = 500$ К, $f = 800$ Гц), составляет 2300 В/Вт. Произведение $R_0 A$ составляет $22 \text{ Ом} \cdot \text{см}^2$. Зависимость емкости от обратного смещения свидетельствует о плавном $p-n$ -переходе. С уменьшением площади меза-диодов, изготовленных по описанной технологии, значение $R_0 A$ также уменьшается. Это обстоятельство мы связываем с существованием канала утечки, который представляет собой тонкий слой p -типа, образующийся на поверхности слоя n -типа меза-структуры.

Неконтролируемые примеси

Согласно существующим представлениям, электрофизические свойства пленок КРТ определяются собственными точечными дефектами (главным образом закансиями в подрешетке металла, дающими мелкие акцепторные уровни) и примесями. Зависимость концентрации собственных точечных дефектов из условий отжига известна [6]. Понижение температуры отжига позволяет понижать концентрацию носителей до уровня легирования неконтролируемыми примесями. В выращенных пленках не удалось получить концентрацию электронов ниже $1 \cdot 10^{15} \text{ см}^{-3}$, а дырок — ниже $1 \cdot 10^{16} \text{ см}^{-3}$, что дает основание предполагать наличие неконтролируемых примесей. Разброс средних значений концентрации носителей в пленках на подложках из различных слитков свидетельствует также о разном уровне легирования слитков фундаментальными примесями. Были проведены измерения содержания примесей в пленках КРТ и подложках CdTe методами ВИМС и РСМА. Типичными примесями, присутствующими как в подложках, так и в пленках, являются Si, Al, In в количествах выше предела обнаружения этих методов [$(1 \div 10) \cdot 10^{17} \text{ см}^{-3}$]. Примеси в пленки видимо преимущественно поступают из подложек, так как продолжительность и температура отжигов вполне достаточны для диффузионного выравнивания концентраций примесей в подложке и пленке. Концентрация носителей на несколько порядков ниже концентрации примесей и это означает, что только часть примеси находится в электрически активном состоянии.

Заключение

Предлагаемая методика получения слоев КРТ с раздельным выращиванием пленок HgTe на подложках CdTe и последующей взаимодиффузией обладает простотой и воспроизводимостью и позволяет получать на подложках произвольной ориентации пленки с градиентом ширины запрещенной зоны $0.0025 \div 0.003$ эВ/мкм в активной области, которые пригодны для изготовления фотодиодов на длины волн до 11 мкм. Пленки HgTe, выращенные по предлагаемой технологии, могут быть использованы также в качестве надежных омических контактов к CdTe (например, для детекторов γ -излучения). Для улучшения электрофизических свойств пленок КРТ, изготавливаемых по данной технологии, необходимо применение высокочистых подложек CdTe.

Авторы выражают благодарность А.Э.Климову за помощь в проведении фотоэлектрических измерений, Т.А.Беленковой и Н.А.Танской

за участие в эксперименте по приготовлению пленок КРТ, С.А.Дворецкому за полезные обсуждения.

Список литературы

- [1] J. Piotrowsky, Z. Djuric, W. Galus, V. Lovic, M. Grudzien, Z. Dinovic, Z. Nowala. *J. Cryst. Growth*, **83**, 122 (1987).
- [2] P. Becla, J. Lagowsky, H.C. Gatos, H. Ruda. *J. Electrochem. Soc.*, **128**, 1171 (1981).
- [3] Z. Djuric, J. Piotrowsky. *Appl. Phys. Lett.*, **51**, 1699 (1987).
- [4] B. Lee, L.K. Nagel, M.F.S. Tang, D.A. Stewenson, J.H. Tregilglas, M.W. Goodwin, R.L. Strong. *J. Vac. Sci. Techn.*, **A8**, 1098 (1990).
- [5] В.А. Гнатюк, А.И. Власенко, Б.Л. Друзь, В.И. Лукьяненко, П.Е. Мозоль, А.В. Сукач. *Неорг. матер.*, **28**, 2399 (1992).
- [6] C.L. Jones, M.J.T. Quelch, P. Capper, J.J. Gosney. *J. Appl. Phys.*, **53**, 9080 (1982).

Редактор В.В.Чалдышев
